

ЧИСЛЕННОЕ РЕШЕНИЕ ЗАДАЧ ТЕОРИИ УПРУГОСТИ ДЛЯ ТЕЛ С РАЗРЕЗАМИ

А. Я. АЛЕКСАНДРОВ, Б. М. ЗИНОВЬЕВ

(Новосибирск)

Решение задачи теории упругости для тела с разрезом сводится к численному определению плотностей обобщенных нагрузок и сил, распределенных в сплошном теле по области предполагаемого разреза. Приведено сравнение результатов численного и аналитического решений задач о пластине с прямолинейным разрезом и о пространстве с плоским круговым разрезом.

Работа представляет собой дальнейшее развитие опубликованных ранее исследований [1, 2].

Метод решения изложен применительно к расчету бесконечных тел, на тела произвольной формы он может быть распространен при помощи приема, изложенного в [3].

1. Метод решения задачи. Метод решения рассмотрим на примере плоской задачи; решение пространственной задачи строится по аналогии с решением плоской.

Рассмотрим напряженное и деформированное состояние упругой бесконечной пластины Π с разрезом S (фиг. 1, а). В случае первой основной задачи, когда на берегах разреза задаются нагрузки p^+ и p^- , граничные условия могут быть записаны так:

$$p_i^\pm = \sigma_{i1}^\pm(S) n_1^\pm \quad (i=1, 2) \quad (1.1)$$

Здесь и далее (в п. 1, 2) $i=1, 2$ — направления осей локальной системы координат X_1, X_2 ; X_1 — нормаль; X_2 — касательная к S ; n_1 — косинус внешней нормали к контуру берега разреза; знаками плюс и минус отмечены противоположные берега разреза.

Во второй основной задаче, когда на берегах разреза задаются перемещения u_0^\pm , граничные условия имеют вид $u_0^\pm = u^\pm(S)$.

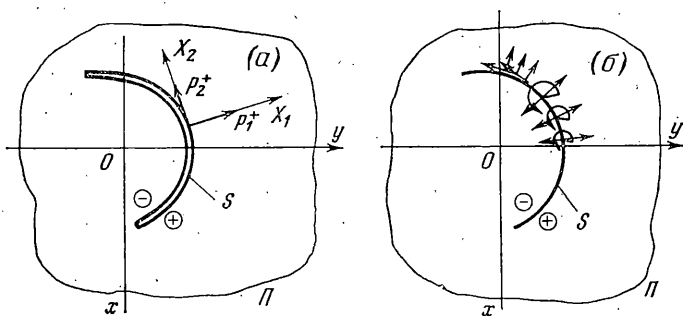
Заменим поставленную задачу эквивалентной. Рассмотрим сплошную и однородную пластину Π , нагруженную такими же внешними силами, как в исходной задаче, и, кроме того, системой компенсирующих нагрузок, распределенных по линии S , соответствующей разрезу (фиг. 1, б). Компенсирующие нагрузки найдем так, чтобы на S выполнялись заданные граничные условия. При этом входящие в правые части граничных условий напряжения и смещения будем рассматривать как пределы, вычисленные при подходе к S со стороны соответствующего берега разреза. Когда компенсирующие нагрузки будут определены, напряжения и смещения в любой точке пластины Π могут быть вычислены суммированием действия заданных внешних сил и действия найденных компенсирующих нагрузок.

Приближенно задача об отыскании компенсирующих нагрузок может быть решена так: разобьем S на достаточно большое количество участков ΔS , в простейшем случае прямолинейных; зададим на каждом участке закон изменения нагрузки, например полином n -й степени с неизвестными коэффициентами; учитывая действие нагрузок на каждом участке, запишем граничные условия в дискретной форме для точек (будем называть их узловыми), распределенных на S , и получим систему линейных алгебраических уравнений для отыскания коэффициентов полиномов, аппроксимирующих компенсирующую нагрузку.

2. Определение вида компенсирующих нагрузок. В общем случае компенсирующие нагрузки должны создавать на S в сплошной пластине Π разрывы в напряжениях и смещениях. Разрывы в напряжениях создают распределенные внутри пластины по отрезку L силы q . Предельные значения напряжений в произвольной точке этого отрезка, не совпадающей с его концами, могут быть записаны в виде

$$\sigma_{ij} = -\frac{1}{2} q_k A \lim_{X_1 \rightarrow \pm 0} \frac{X_1}{|X_1|} + \int_{(L)} q_h \sigma_{ij}(P_h) dL \quad (i, j, k=1, 2) \quad (2.1)$$

Здесь q_h — проекции вектора нагрузки q на оси X_1, X_2 ; $\sigma_{ij}(P_h)$ — напряжения при действии сосредоточенной силы $P_h=1$; $A=1$ при $i=j=k=1$ и $i \neq j, k=2$; $A=v$ при $i=j=2, k=1$; $A=0$ при $i \neq j, k=1$ и $i=j, k=2$; интеграл понимается в смысле главного значения.



Фиг. 1

В случае первой основной задачи нагрузки q определяются так: $q = p^+ + p^-$. Разрывы в смещениях создают распределенные внутри пластины по отрезку L безмоментные и моментные диполи. Безмоментным, нормальным сосредоточенным диполем будем называть пару разнонаправленных сил P и $-P$ с общей линией действия, причем $\lim Pa = \text{const}$ (при $a \rightarrow 0, P \rightarrow \infty$), где a — расстояние между точками приложения сил. Моментным сосредоточенным диполем будем называть пару разнонаправленных параллельных сил P и $-P$, точки приложения которых лежат на общей нормали к линиям их действия и $\lim Pa = \text{const}$ (при $a \rightarrow 0, P \rightarrow \infty$).

Напряжения и смещения при действии сосредоточенного диполя могут быть получены дифференцированием решения о действии сосредоточенной силы [4]. Распределенные диполи обозначим qa ; ось безмоментных диполей qa_1 будем направлять по нормали к L , а направление сил q_2 , составляющих моментные диполи qa_2 — совмещать с касательной к L .

Решение о действии распределенных диполей может быть получено интегрированием решения о действии сосредоточенного диполя.

Предельные значения смещений в произвольной точке отрезка L , не совпадающей с его концами, при действии распределенных внутри плоскости по этому отрезку диполей могут быть записаны так:

$$u_i = \lim_{X_1 \rightarrow \pm 0} \frac{X_1}{|X_1|} \frac{(1+v)}{2E} B q a_k + \int_{(L)} q a_h u_i(P a_h) dL \quad (i, k=1, 2) \quad (2.2)$$

Здесь $u_i(P a_h)$ — смещения при действии сосредоточенного диполя $P a_h = 1$, интеграл понимается в смысле главного значения, $B=1-v$ при $i=k=1$, $B=2$ при $i=k=2$, $B=0$ при $i \neq k$.

В общем случае напряжения на L , так же как и смещения, терпят разрыв. Величина скачка напряжений на L может быть получена из закона Гука и дифференциальных уравнений равновесия с использованием

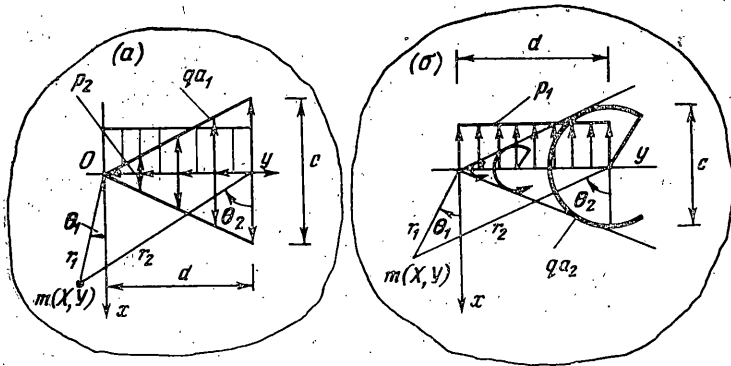
Формул (2.1) и (2.2) или же непосредственными вычислениями

$$\Delta\sigma_{ij} = \sigma_{ij}^+ - \sigma_{ij}^- = C \frac{\partial qa_k}{\partial x_2} \quad (i, j, k=1, 2) \quad (2.3)$$

Здесь $C=0$ при $i=j, k=1$ или $i \neq j, k=2$; $C=1$ при $i=j=1, k=2$; $C=\nu$ при $i \neq j, k=1$; $C=-(2+\nu)$ при $i=j=k=2$; $\sigma_{ij}^+, \sigma_{ij}^-$ — предельные значения напряжений на L , вычисляемые при подходе к L с противоположных сторон.

При $qa = \text{const}$ напряжения на L выражаются непрерывными функциями¹.

Чтобы создать нагрузки, дающие на L разрывы только в смещениях, необходимо определенным образом скомбинировать распределенные диполи и распределенные силы.



Фиг. 2

Безмоментные диполи qa_1 в сочетании с нагрузкой $p_2 = -\nu d qa_1 / \partial x_2$ дают разрыв в смещениях u_1 по нормали к L :

$$\Delta u_1 = u_1^+ - u_1^- = (1+\nu)(1-\nu) qa_1 / E \quad (2.4)$$

без разрывов в напряжениях σ_{ij} ($i, j=1, 2$).

Моментные диполи qa_2 в сочетании с нагрузкой $p_1 = -\partial qa_2 / \partial x_2$ дают разрыв в касательных к L смещениях u_2 :

$$\Delta u_2 = u_2^+ - u_2^- = 2(1+\nu) qa_2 / E \quad (2.5)$$

без разрывов в напряжениях σ_{1j} ($j=1, 2$) (разрыв в напряжениях σ_{22} сохраняется).

В случае плоской деформации в приведенных выше выражениях следует заменить ν на $\nu / (1-\nu)$ и E на $E / (1-\nu^2)$.

Сочетания p и qa , определяемые из данных выражений, будем называть обобщенной нагрузкой. Будем различать обобщенную безмоментную и обобщенную моментную нагрузки. В случае второй основной задачи, когда заданы смещения точек берегов разреза u_0^+ и u_0^- , обобщенные нагрузки легко определяются: из (2.4) и (2.5) находим qa_1 и qa_2 :

$$qa_i = (u_{0i}^+ - u_{0i}^-) N \quad (i=1, 2)$$

¹ В [1, 2] рассматривалось действие равномерно распределенных диполей, поэтому не был учтен разрывной характер напряжений, имеющий место в общем случае; вследствие чего результаты решения задач, приведенных в указанных работах, были огрублены.

Здесь $N=E/(1-\nu^2)$ при $i=1$, $N=E/2(1+\nu)=G$ при $i=2$; затем по найденным qa_i определяем p_1 и p_2 .

3. Напряжения и смещения при действии обобщенных нагрузок внутри упругих плоскостей и пространства. 1. Приведем выражения для напряжений и смещений при действии распределенной внутри плоскости по прямолинейному отрезку обобщенной нагрузки, изменяющейся по линейному закону.

При действии безмоментных обобщенных нагрузок $p_2=-\nu k$, $qa_1=ky$ (фиг. 2, а)

$$\sigma_x = -K \sum_{i=1}^2 (-1)^i \{ (1+\nu) \mu \cos^2 \theta_i + (1-\nu) [\lambda \sin \theta_i - (1-\nu) \ln r_i] \}$$

$$\sigma_y = -K \sum_{i=1}^2 (-1)^i [(1+3\nu) \lambda \sin \theta_i - (1+\nu) \mu \cos^2 \theta_i - (1-\nu^2) \ln r_i] \quad (3.1)$$

$$\tau_{xy} = K \sum_{i=1}^2 (-1)^i [(1+\nu) \mu \sin \theta_i - (1-\nu) \lambda] \cos \theta_i$$

$$u = K_1 \sum_{i=1}^2 (-1)^i [(1+\nu) f \sin \theta_i + (1-\nu)^2 X \ln r_i + 2(1-\nu) Y \theta_i]$$

$$v = K_1 \sum_{i=1}^2 (-1)^i [(1+\nu) (Y \ln r_i + f \cos \theta_i) + (1-\nu)^2 r_i \sin \theta_i +$$

$$+ \nu(3-\nu) r_i \sin \theta_i \ln r_i - 2(1-\nu) X \theta_i]$$

$$K = k/4\pi, \quad K_1 = k(1+\nu)/(4\pi E), \quad \lambda = \sin \theta_i + Y/r_i$$

$$\mu = (1-\nu) + 2\lambda \sin \theta_i, \quad \eta = 1 + \lambda \sin \theta_i, \quad f = Y \cos \theta_i + X \sin \theta_i$$

$$r_i^2 = X^2 + (Y - y_i)^2, \quad \cos \theta_i = X/r_i, \quad \sin \theta_i = -(Y - y_i)/r_i, \quad k = C/d$$

При действии моментных обобщенных нагрузок $p_1=-k$, $qa_2=ky$ (фиг. 2, б)

$$\sigma_x = K \sum_{i=1}^2 (-1)^i [2(1+\nu) \eta \sin \theta_i + (1-\nu) \lambda] \cos \theta_i \quad (3.2)$$

$$\sigma_y = -K \sum_{i=1}^2 (-1)^i [2(1+\nu) \eta \cos \theta_i \sin \theta_i + (3+\nu) \lambda \cos \theta_i - 4(1+\nu) \theta_i]$$

$$\tau_{xy} = -K \sum_{i=1}^2 (-1)^i [(3+\nu) \lambda \sin \theta_i - 2(1+\nu) \eta \cos^2 \theta_i - 2(1+\nu) \ln r_i]$$

$$u = K_1 \sum_{i=1}^2 (-1)^i [(3-\nu) \sin \theta_i r_i \ln r_i + (1+\nu) (f \cos \theta_i + Y \ln r_i) -$$

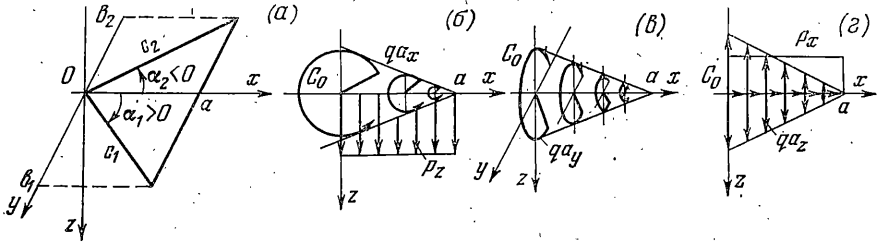
$$- (1-3\nu) r_i \sin \theta_i - 4\nu X \theta_i]$$

$$v = -K_1 \sum_{i=1}^2 (-1)^i [(1+\nu) f \sin \theta_i - 2(3+\nu) X \ln r_i - 4Y \theta_i]$$

2. Приведем выражения для напряжений и смещений при действии распределенных внутри пространства по плоской треугольной площадке обобщенных нагрузок, изменяющихся по линейному закону.

Плоская треугольная площадка лежит в плоскости XOY (фиг. 3, а), нагрузка изменяется по линейному закону вдоль оси OX , оставаясь постоянной вдоль оси OY .

Рассмотрено действие трех видов обобщенных нагрузок: двух моментных, одна из которых является сочетанием моментных диполей $qa_x = -C_0(1-kx)$ и распределенных сил $p_z = C_0/a$ (фиг. 3, б), а другая представляет собой распределенные моментные диполи $qa_y = C_0(1-kx)$ (фиг. 3, в) — в последнем случае действие диполей qa_y , интенсивность



Фиг. 3

которых изменяется только вдоль оси OX , не вызывает разрыва в напряжениях на площадках, совпадающих с нагруженной, и безмоментной, представляющей собой сочетание безмоментных диполей $qa_z = C_0(1-kx)$ и распределенных сил $p_z = \nu C_0/[a(1-\nu)]$ (фиг. 3, з).

В приведенных ниже выражениях верхний индекс у компонент смещений и напряжений совпадает с индексом диполей, например, v^x означает смещение вдоль оси OY при действии моментных диполей qa_x (в сочетании с нагрузкой p_z , фиг. 3, б).

При действии обобщенной нагрузки по фиг. 3, б напряжения и смещения запишутся так:

$$\begin{aligned} u^x &= K[(3-4\nu)\chi_1 + \chi_5 + kZ\varphi_4], & v^x &= K[\chi_4 + kZ\varphi_5], & w^x &= K[\chi_2 + k[Z\theta - (3-4\nu)\varphi_3]] \\ \sigma_x^x &= -K_1\{(1-2\nu)\chi_9 + \Delta_9 - k[Z\varphi_3 - 2\nu\theta]\}, & \sigma_y^x &= K_1\{(1-2\nu)\chi_9 - \Delta_6 + k[Z\varphi_4 - 2\nu\theta]\} \\ \sigma_z^x &= K_1\{(1-2\nu)\chi_9 - \Delta_4 - k[Z(\varphi_3 + \varphi_4) + 2(1-\nu)\theta]\} \\ \tau_{xz}^x &= -K_1\{(1-2\nu)\chi_7 + \Delta_8 + k[(1-2\nu)\varphi_4 + Z^2\varphi_2]\} \\ \tau_{xy}^x &= -K_1[(1-2\nu)\chi_8 + \Delta_{10} + kZ\varphi_5], & \tau_{yz}^x &= -K_1\{\Delta_5 + k[(1-2\nu)\varphi_5 + Z^2\varphi_1]\} \end{aligned} \quad (3.3)$$

При действии диполей по фиг. 3, в

$$\begin{aligned} u^y &= K\chi_4, & v^y &= K[(3-4\nu)\chi_1 + \chi_6], & w^y &= K\chi_3 \\ \sigma_x^y &= K_1[(1-2\nu)\chi_8 - \Delta_{10}], & \sigma_y^y &= -K_1[(1-2\nu)\chi_8 + \Delta_7], & \sigma_z^y &= K_1[(1-2\nu)\chi_8 - \Delta_3] \\ \tau_{xz}^y &= -K_1\Delta_5, & \tau_{xy}^y &= -K_1[(1-2\nu)\chi_9 + \Delta_6], & \tau_{yz}^y &= -K_1[(1-2\nu)\chi_7 + \Delta_1] \end{aligned} \quad (3.4)$$

При действии обобщенной нагрузки по фиг. 3, з

$$\begin{aligned} u^z &= K[\chi_2 + k\nu_1[\varphi_1 - 4(1-\nu)\varphi_3]], & v^z &= K[\chi_3 + k\nu_1\varphi_6], & w^z &= K[4(1-\nu)\chi_1 - \chi_5 - \chi_6 + k\nu_1Z\varphi_4] \\ \sigma_x^z &= K_1\{(1-2\nu)\chi_7 - \Delta_8 - k\nu_1[(1-2\nu)\varphi_4 + \varphi_6]\}, & \sigma_y^z &= K_1\{(1-2\nu)\chi_7 - \Delta_1 + k\nu_1[(1-2\nu)\varphi_4 - \varphi_7]\} \\ \sigma_z^z &= -K_1\{(1-2\nu)\chi_7 + \Delta_2 - k\nu_1[(1-2\nu)\varphi_4 - \varphi_7]\} \\ \tau_{xz}^z &= -K_1\{(1-2\nu)\chi_9 + \Delta_4 - k\nu_1[Z\varphi_3 - 2(1-\nu)\theta]\} & \tau_{yz}^z &= -K_1[(1-2\nu)\chi_3 + \Delta_3 + k\nu_1Z\varphi_5] \\ \tau_{xy}^z &= -K_1\{\Delta_5 + k\nu_1[(1-2\nu)\varphi_5 + \varphi_8]\} & \chi_4 &= d\theta + kZ\varphi_4 \\ \chi_2 &= -d(\varphi_4 - Z^2\varphi_2) + k(\varphi_2 + 2Z\theta - Z^2\varphi_3), & \chi_3 &= -d(\varphi_5 - Z^2\varphi_1) - k(\varphi_6 - Z^2\varphi_5) \\ \chi_4 &= Z(d\varphi_5 + k\varphi_6), & \chi_5 &= d(\theta - Z\varphi_3) + kZ\varphi_6, & \chi_6 &= d(\theta - Z\varphi_4) + kZ\varphi_7 \\ \chi_7 &= d(\varphi_3 + \varphi_4) - k(\varphi_4 - Z^2\varphi_2), & \chi_8 &= Z(d\varphi_1 + k\varphi_5), & \chi_9 &= dZ\varphi_2 + k(\theta - Z\varphi_3) \end{aligned} \quad (3.5)$$

$$\Delta_1 = d(2F_4 + F_3 + Z^2\Phi_5) + k(Z^2\Phi_7 - F_7), \quad \Delta_2 = -dZ^2(\Phi_4 + \Phi_5) + 3kZ^2(Z^2\Phi_1 - F_2)$$

$$\Delta_3 = dZ(3Z^2\Phi_2 - 2F_1) + kZ(Z^2\Phi_3 - 2F_5)$$

$$\Delta_4 = dZ(3Z^2\Phi_1 - 2F_2) + k[Z(Z^2\Phi_4 + F_4 + 3F_3) - \theta]$$

$$\Delta_5 = d(Z^2\Phi_3 - F_5) + k(Z^2\Phi_8 - F_8), \quad \Delta_6 = dZ\Phi_7 + k(\theta - ZF_3 + Z\Phi_6)$$

$$\Delta_7 = Zd(5F_1 - \Phi_8 - 3Z^2\Phi_2) + kZ(5F_5 - 3\Phi_9 - Z^2\Phi_3)$$

$$\Delta_8 = 3\chi_7 - \Delta_1 - \Delta_2, \quad \Delta_9 = 3\chi_8 - \Delta_6 - \Delta_4, \quad \Delta_{10} = 3\chi_8 - \Delta_7 - \Delta_3$$

$$\Phi_1 = - \sum_{i=1}^2 (-1)^i (\zeta_2 \sin \alpha_i - \eta_2), \quad \Phi_2 = \sum_{i=1}^2 (-1)^i \zeta_2 \cos \alpha_i$$

$$\Phi_3 = \sum_{i=1}^2 (-1)^i [3B\zeta_2 \sin \alpha_i - \rho_3 \cos \alpha_i] \cos \alpha_i$$

$$\Phi_4 = - \sum_{i=1}^2 (-1)^i [3B\zeta_2 \sin^2 \alpha_i - \rho_3 \sin \alpha_i \cos \alpha_i - 3(X-a)\eta_2]$$

$$\Phi_5 = - \sum_{i=1}^2 (-1)^i [\rho_3 \sin \alpha_i + 3B\zeta_2 \cos \alpha_i] \cos \alpha_i$$

$$\Phi_6 = - \sum_{i=1}^2 (-1)^i \cos \alpha_i [B \cos \alpha_i (1 - 3 \sin^2 \alpha_i) \zeta_1 + 3B^3 \zeta_2 \cos \alpha_i \sin^2 \alpha_i - 3\zeta_3 \sin \alpha_i \cos^2 \alpha_i + B^2 \sin \alpha_i (1 - 3 \cos^2 \alpha_i) \rho_3]$$

$$\Phi_7 = - \sum_{i=1}^2 (-1)^i [2B\rho_3 \cos \alpha_i \sin^2 \alpha_i + \zeta_1 \sin^3 \alpha_i + 3B^2 \zeta_2 \sin \alpha_i \cos^2 \alpha_i - \eta_1]$$

$$\Phi_8 = - \sum_{i=1}^2 (-1)^i \cos \alpha_i [2B\rho_3 \sin \alpha_i \cos \alpha_i - \zeta_1 \cos^2 \alpha_i - 3B^2 \sin^2 \alpha_i \zeta_2]$$

$$\Phi_9 = \sum_{i=1}^2 (-1)^i \cos \alpha_i [\zeta_3 \cos^3 \alpha_i + B\zeta_1 \sin \alpha_i \cos^2 \alpha_i + B^3 \zeta_2 \sin^3 \alpha_i - B^2 \rho_3 \sin^2 \alpha_i \cos \alpha_i]$$

$$\varphi_1 = - \sum_{i=1}^2 (-1)^i [Bf_1 \sin^2 \alpha_i + \sin \alpha_i \cos \alpha_i \Delta R - (X-a)f_2]$$

$$\varphi_2 = - \sum_{i=1}^2 (-1)^i \cos \alpha_i [Bf_1 \cos \alpha_i - \Delta R \sin \alpha_i], \quad \varphi_3 = \varphi_1 + \varphi_2 + Z\theta$$

$$\varphi_4 = - \sum_{i=1}^2 (-1)^i (f_1 \sin \alpha_i - f_2), \quad \varphi_5 = \sum_{i=1}^2 (-1)^i f_1 \cos \alpha_i$$

$$\varphi_6 = \sum_{i=1}^2 (-1)^i [Bf_1 \sin \alpha_i + \Delta R \cos \alpha_i] \cos \alpha_i$$

$$F_1 = \sum_{i=1}^2 (-1)^i f_3 \cos \alpha_i, \quad F_2 = \sum_{i=1}^2 (-1)^i (f_4 - f_3 \sin \alpha_i)$$

$$F_3 = - \sum_{i=1}^2 (-1)^i [(X-a)f_4 - Bf_3 \sin^2 \alpha_i + f_3 \sin \alpha_i \cos \alpha_i]$$

$$F_4 = \sum_{i=1}^2 (-1)^i \cos \alpha_i [Bf_3 \cos \alpha_i + f_5 \sin \alpha_i], \quad F_5 = \sum_{i=1}^2 (-1)^i [Bf_3 \sin \alpha_i - f_5 \cos \alpha_i] \cos \alpha_i$$

$$F_6 = - \sum_{i=1}^2 (-1)^i \left[3 \sin \alpha_i \left(1 - \sin^2 \frac{\alpha_i}{3} \right) f_1 - 2f_2 - (X-a)^2 f_4 + Cf_3 \sin \alpha_i - 2Bf_5 \sin^2 \alpha_i \cos \alpha_i \right]$$

$$F_7 = 3\varphi_4 - F_6 - Z^2 F_{21}, \quad F_8 = \sum_{i=1}^2 (-1)^i \cos \alpha_i [Cf_3 - 2Bf_5 \cos \alpha_i \sin \alpha_i + f_1 \cos^2 \alpha_i]$$

$$F_9 = 3\varphi_5 - F_8 - Z^2 F_1$$

$$\theta = 2 \sum_{i=1}^2 (-1)^i \left[\operatorname{arctg} \frac{(\rho_2 + B \cos \alpha_i)(A - c_i) / (\rho_2 + R_1) + \rho_2 \sin \alpha_i}{Z \cos \alpha_i} - \operatorname{arctg} \frac{A(\rho_2 + B \cos \alpha_i) / (\rho_2 + R_0) + \rho_2 \sin \alpha_i}{Z \cos \alpha_i} \right]$$

$$\xi_1 = \frac{1}{\rho_2^2} \left[\frac{(A - c_i)^3}{R_1^3} - \frac{A^3}{R_0^3} \right], \quad \xi_2 = \left(f_3 - \frac{\xi_1}{3} \right) / \rho_2^2, \quad \xi_3 = \frac{1}{3} \rho_2^2 \rho_3 - f_5, \quad \rho_3 = 1/R_1^3 - 1/R_0^3$$

$$\eta_1 = (Y - b_i)^3 / (\rho_0^2 R_1^3), \quad \eta_2 = (f_4 - \eta_1/3) / \rho_0^2, \quad f_1 = \ln(r_1/\rho_1), \quad f_2 = \ln(r_2)$$

$$f_3 = [(A - c_i)/R_1 - A/R_0] / \rho_2^2, \quad f_4 = (Y - b_i) / (R_1 \rho_0^2), \quad f_5 = 1/R_1 - 1/R_0, \quad \rho_0^2 = Z^2 + (X - a)^2$$

$$R_0^2 = X^2 + Y^2 + Z^2, \quad R_1^2 = \rho_0^2 + (Y - b_i)^2, \quad \rho_1 = R_0 + A, \quad \rho_2^2 = Z^2 + B^2$$

$$r_1 = R_1 + A - c_i, \quad r_2 = R_1 + Y - b_i, \quad \Delta R = R_1 - R_0$$

$$A = X \cos \alpha_i + Y \sin \alpha_i, \quad B = X \sin \alpha_i - Y \cos \alpha_i, \quad C = B^2 \sin^2 \alpha_i - \rho_2^3 \cos^2 \alpha_i$$

$$D = B^2 \cos^2 \alpha_i - \rho_2^2 \sin^2 \alpha_i$$

$$K = C_0(1 + \nu) / [8\pi E(1 - \nu)], \quad K_1 = C_0 / [8\pi(1 - \nu)], \quad k = 1/a, \quad d = 1 - kX, \quad c_i = a / \cos \alpha_i$$

$$\nu_1 = \nu / (1 - \nu)$$

4. Примеры решения задач. 1. Рассмотрим задачу о пластине с прямолинейным разрезом длиной $S=2a$, равномерно растягиваемой на бесконечности нормальным к оси разреза напряжением q . Берега разреза свободны от напряжений (фиг. 4, а)

$$\sigma_x = \tau_{xy} = 0 \quad \text{при} \quad X=0, \quad -a < Y < a \quad (4.1)$$

Точное решение этой задачи известно [5].

Заменяем поставленную задачу эквивалентной: рассмотрим равновесие сплошной пластины, равномерно растягиваемой заданным напряжением q и нагруженной на отрезке $-a < Y < a$ компенсирующими нагрузками. Здесь в качестве компенсирующих нагрузок ввиду симметрии граничных условий относительно оси OY выбираем обобщенные безмоментные нагрузки. Значения нагрузок отыскиваем приближенно, удовлетворяя условию (4.1) в узловых точках на S . Весь отрезок S разбиваем на $2n$ участков $\Delta a = a/n$ и полагаем, что в пределах каждого участка обобщенные нагрузки изменяются по линейному закону.

На каждом i -м участке нагрузки представляем в виде суммы двух треугольных эпюр с основанием Δa_i и неизвестными ординатами C_{2i} и C_{2i-1} на концах участка. На последних участках эпюры имеют вид треугольников с нулевыми ординатами в конечных точках S . Ввиду симметрии задачи относительно оси OX условиям (4.1) достаточно удовлетворить на одной половине отрезка S . Количество узловых точек выбирается в соответствии с количеством неизвестных.

При линейной аппроксимации нагрузок на каждом участке и с учетом симметрии задачи относительно OX имеем $2n-1$ неизвестных ординат C_j ($j=1, \dots, 2n-1$) и на каждом участке, кроме последних, имеем две узловых точки. Запишем условие $\sigma_x=0$ для точек одной половины отрезка S , учитывая действие нагрузок на всех частях, и получим систему линейных алгебраических уравнений для отыскания

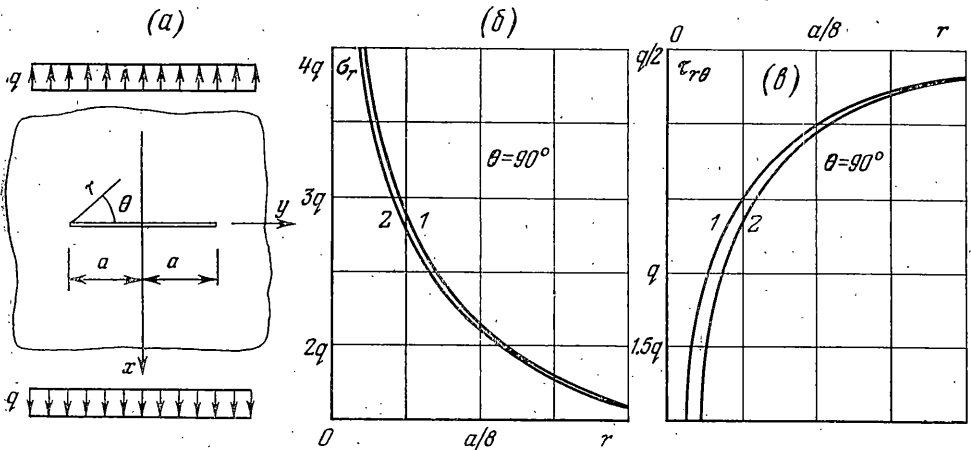
ординат C_j . Коэффициенты при C_j системы уравнений, которыми являются напряжения σ_x в узловых точках, вычисляем по соответствующей формуле из (3.1) при $C_j=1$.

Условие $\tau_{xy}=0$ на S удовлетворяется автоматически вследствие симметрии обобщенной безмоментной нагрузки относительно оси OY . После того, как в результате решения системы уравнений значения нагрузок определены, напряжения и смещения в любой точке плоскости подсчитываются по формулам (3.1) с учетом действия всех нагрузок и растяжения q на бесконечности.

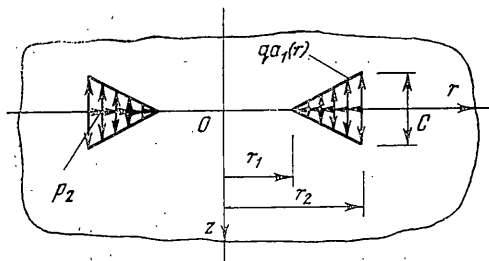
На фиг. 4, б, в приведены эпюры напряжений, полученные по результатам аналитического и численного решения при $n=70$. Результаты численного решения (кривые 2) на некотором удалении от угловой точки разреза достаточно хорошо совпадают с точным решением (кривые 1).

2. В качестве примера пространственной задачи рассмотрена задача об упругом пространстве с плоским круговым разрезом радиуса R_0 , растягиваемым на бесконечности напряжением q , нормальным к плоскости разреза. Берега разреза свободны от напряжений: $\sigma_z=\tau_{z\theta}=\tau_{rz}=0$ при $r < R_0, z=0$. Точное решение этой задачи известно [6].

Заменим исходную задачу эквивалентной: рассмотрим упругое пространство без разреза, растягиваемое на бесконечности напряжением q и нагруженное по плоской круговой площадке S радиуса R_0 обобщенными безмоментными нагрузками, постоянными вдоль дуги окружности и переменными вдоль r . Обобщенные нагрузки в



Фиг. 4



Фиг. 5

данном случае представляют комбинацию распределенных безмоментных диполей $qa_z(r)$ и распределенных сил

$$p_r(r) = [-qa_z(r)]r'v/(1-\nu)$$

Значения нагрузок должны быть такими, чтобы на S удовлетворялось условие $\sigma_z=0$ (условия $\tau_{rz}=\tau_{z\theta}=0$ на S удовлетворяются автоматически вследствие круговой симметрии нагрузок относительно OZ и плоскости разреза). Приближенные значения нагрузок определяем по аналогии с решением предыдущей плоской задачи: круг разбиваем на n колец, на каждом кольце закон изменения нагрузки вдоль r прини-

маем линейным, условие $\sigma_z=0$ записываем для узловых точек на S (по две точки на каждом кольце, кроме последнего) с учетом действия нагрузок на всех участках; в результате получаем систему $2n-1$ линейных алгебраических уравнений для определения крайних ординат нагрузок для каждого кольца.

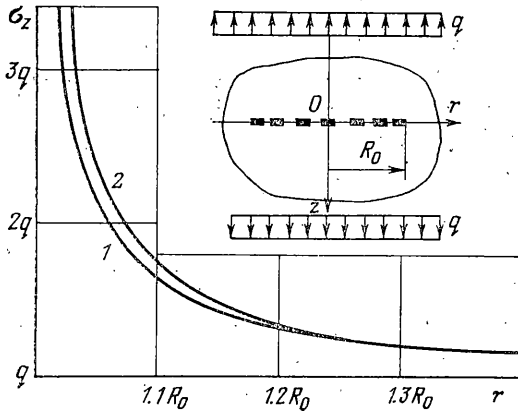
Для вычисления коэффициентов системы уравнений было получено выражение предельных значений напряжений $\lim_{z \rightarrow 0} \sigma_z$ (при $z \rightarrow 0$) при действии обобщенной безмоментной нагрузки, распределенной по кольцу внутри упругого пространства и изменяющейся по линейному закону ($p_2 = -kv/(1-\nu)$, $qa_1(r) = k(r-r_1)$, фиг. 5):

$$\lim_{z \rightarrow 0} \sigma_z = -\frac{k(1-2\nu)}{4\pi(1-\nu)} \int_0^\pi \left\{ \frac{1}{1-\nu} \left(\frac{r}{r_0} - \ln r_0' \right) + \frac{r}{r_0} - \frac{r}{r_0^3} [R(R-r \cos \varphi) + r_1(r-R \cos \varphi)] \right\} \Big|_{r=r_1}^{r=r_2} d\varphi$$

$$r_0^2 = R^2 + r^2 - 2Rr \cos \varphi, \quad r_0' = r_0 + r - R \cos \varphi, \quad k = C/(r_2 - r_1)$$

Здесь R — координата точки, где вычисляется напряжение.

Для точек, не принадлежащих границе области интегрирования, т. е. при $R \neq r_1$ и $R \neq r_2$, подынтегральная функция является регулярной и значение интеграла может быть вычислено с любой точностью, например по методу Симпсона.



Фиг. 6

На фиг. 6 приведены эпюры напряжений σ_z в плоскости разреза, полученные по результатам аналитического (кривая 1) и численного (кривая 2) решений при $n=24$. При приближении к кромке разреза результаты численного и аналитического решения все более расходятся между собой. Уточнить численное решение можно путем выделения особенностей вблизи края разреза.

Поступила 6 II 1978

ЛИТЕРАТУРА

1. Зиновьев Б. М. Один приближенный метод расчета тел с разрезами. В кн.: Механика деформируемого тела и расчет сооружений. Тр. Новосиб. ин-та инж. ж.-д. трансп., 1972, вып. 137, стр. 105.
2. Александров А. Я., Зиновьев Б. М. Приближенный метод решения плоских и пространственных задач теории упругости для тел с армирующими элементами и разрезами. В сб.: Механика деформируемых тел и конструкций. М., «Машиностроение», 1975, стр. 15-25.
3. Александров А. Я. Решение основных трехмерных задач теории упругости для тел произвольной формы путем численной реализации метода интегральных уравнений. Докл. АН СССР, 1973, т. 208, № 2.
4. Тимошенко С. П. Теория упругости. М., ОНТИ, 1934.
5. Мухелишвили Н. И. Некоторые основные задачи математической теории упругости. М., «Наука», 1966.
6. Снеддон И. Преобразования Фурье. М., Изд-во иностр. лит., 1955.